КРАТКИЕ СООБЩЕНИЯ

Ю.М. ШАХНАЗАРЯН, Р.Г. ТУМАНЯН

СИММЕТРИЧНЫЕ СОСТАВЛЯЮЩИЕ ТРЕХФАЗНОЙ ЦЕПИ ПРИ СТАБИЛИЗАЦИИ ТОКА В ОДНОЙ ИЗ ФАЗ

Դիավում է հասֆազ ոչ սկսնարիկ ապաղիում շղթա պատեց չերք բարի կառատ հետ և հասանքները ապառիչների ֆազերում և սիսետրիկ են լնել որուս՝ հասանքի հասների անկան բարացեր հասարության ունաթյունից Ֆաց է արվում և և չերուլ հետել և լարտան շեղույթ հավատութ և գրոլական հասորդունահարյան թաղադրիչների բոլուսակ։ Այսնույ

Рассматривается трехфазная цепь без нейтрального провода с несимметричным приемником энергии. Напряжения и токи в фазах приемнико несимметричны, причем ток в одной из фаз не зависит от воличины сопротивления этой фазы. Показано, что напряжение смещения нейтрили равно величине напряжения составляющей нулевой последовательности, взятой с обратным знаком.

Ил. 3. Табл. 1. Библистр. 2 назв

An asymmetric circuit receiver without a neutral wire is studied. Voltages and currents of the receiver's circuit are asymmetric, and the current of one of the phases is independent of the resistance value of that phase. It is shown that voltage displacement of neutral points is equal to the zero sequence voltage with the opposite sign.

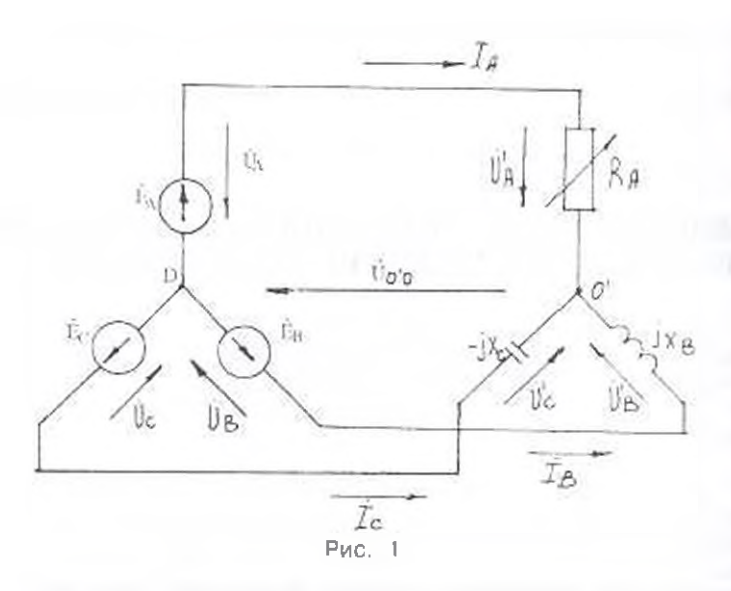
Io., 3. Table 1, Ref. 2.

Рассматривается несимметричный режим работы трехфазнои цепи при соединении фаз приемника по схеме "звезда" без нейтрального провода (рис.1). Схема состоит из резистора в фазе A, величина которого меняется в диапазоне $0 \le R \le \infty$. Сопротивления двух других фаз - реактивные. Причем в одной из фаз расположена катушка индуктивности, а в другой - конденсатор, реактивные сопротивления которых одинаковы $X_1 = X_1 = X_2$. При этом активными составляющими сопротивлений катушки и конденсатора пренебрегаем.

При изменении сопротивления $R_{\rm A}$ так $I_{\rm A}$ в этой фазе не зависит от его величины [1]. Напряжение смещения нейтрали равис

$$U_N = \left(1 - \sqrt{3} \frac{R_A}{N}\right) U \tag{1}$$

Направим вектор напряжения фазы A источника по оси действительных ($U_{\rm A}=U_{\rm A}$). При неизменных по величине 1 — и X уравнение (1) представляет собой линейную зависимость $U_{\rm A}=0$ 1 $R_{\rm A}$, откуда видно, что вектор $U_{\rm A}$ при принятых условиях также совпадает с осью действительных.



Фазные напряжения нагрузки определяются в виде

$$\frac{\underline{U}'_{A} = \sqrt{3} \frac{R_{A}}{X} \underline{U}_{A},
\underline{U}'_{B} = \left(-\frac{3}{2} + \sqrt{3} \frac{R_{A}}{X}\right) \underline{U}_{A} - j \frac{\sqrt{3}}{2} \underline{U}_{A},
\underline{U}'_{C} = \left(-\frac{3}{2} + \sqrt{3} \frac{R_{A}}{X}\right) \underline{U}_{A} + j \frac{\sqrt{3}}{2} \underline{U}_{A},$$
(2)

где \underline{U}_A , $\underline{U}_B = a \ \underline{U}_A$ и $\underline{U}_C = a \underline{U}_A$ - фазные напряжения источника представляющие симметричную систему $a = -\frac{1}{2} + j \frac{\sqrt{3}}{2}$ - фазный множитель трехфазной системы.

Токи в фазах имеют вид

$$\begin{bmatrix}
\underline{I}_{A} = \sqrt{3} \frac{\underline{U}_{A}}{X}, \\
\underline{I}_{B} = -\frac{\sqrt{3}}{2} \frac{\underline{U}_{A}}{X} + j \left(\frac{3}{2x} - \sqrt{3} \frac{R_{A}}{X^{3}}\right) \underline{U}_{A}, \\
\underline{I}_{C} = -\frac{\sqrt{3}}{2} \frac{\underline{U}_{A}}{X} - j \left(\frac{3}{2x} - \sqrt{3} \frac{R_{A}}{X^{2}}\right) \underline{U}_{A},$$
(3)

Как видно из системы уравнений (2), вектор U л при одних и тех же условиях линейно зависит от $R_{\rm A}$ и направлен по оси действительных величин. При этом напряжения $U_{\rm R}$ и $\underline{U}_{\rm C}$ представляются комплексно-сопряженными векторами с постоянными коэффициентами линейно зависимой от $R_{\rm C}$ мнимой и

действительной частей. Геометрические места концов векторов \mathbb{U} , и $\underline{\mathbb{U}}^{'}\epsilon$ - прямые, параллельные оси действительных на расстоянил

₹3/2 от нее.

Ток фазы A при этом остается неизменным по величине, независимо от R токи I_0 и I_0 представляются комплексносопряженными векторами с постоянными коэффициентами действительной и линейно зависимой от R_{χ} мнимой частей. Геометрические места концов векторов I_0 и I_0 - прямые параллельные оси мнимых на расстоянии $\sqrt{3}U_0/2x$ от нее.

Разложив несимметричную систему напряжений $U_A \colon U_B$ и U_C токов $I_A \colon I_B \colon I_C$ на симметричные составляющие, получим

$$\underline{\mathbf{U}}_1 = \underline{\mathbf{U}}_A, \ \underline{\mathbf{U}}_2 = 0, \ \underline{\mathbf{U}}_0 = -\underline{\mathbf{U}}_A \left[1 - \sqrt{3} \frac{\mathbf{R}_A}{\mathbf{X}} \right],$$
 (4)

$$\underline{I}_{1} = \frac{\underline{U}_{A}}{X^{2}} R_{A}, \quad \underline{I}_{2} = -\frac{\underline{U}_{A}}{X^{2}} R_{A} + \frac{\sqrt{3}}{X} \underline{U}_{A}, \quad \underline{I}_{0} = 0.$$
 (5)

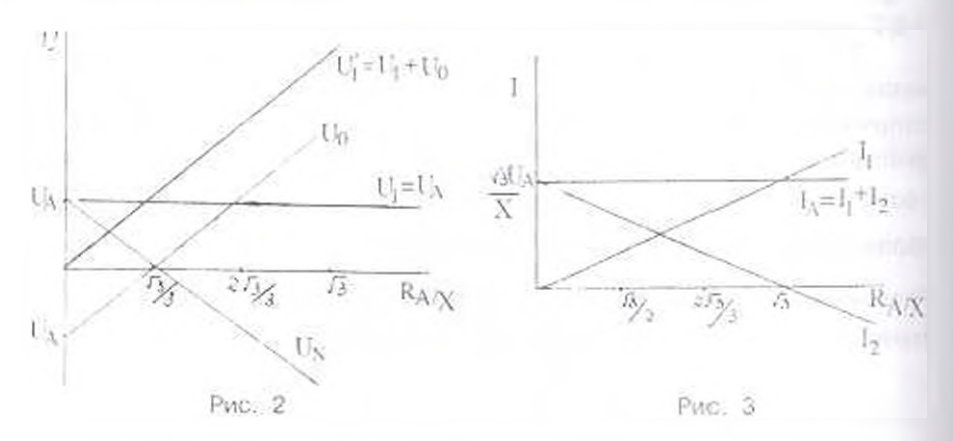
Из выражений (1), (4), и (5) спедует:

- напряжение \underline{U}_N совпадает по фазе с \underline{U}_A при $0 \le R_R < \sqrt{3}x/3$, $R_A = \sqrt{3}X/3$, $\underline{U}_N = 0$, если же $R_A > \sqrt{3}X/3$, напряжение \underline{U}_N находится в противофазе с \underline{U}_A .
- составляющие прямой последовательности U и 1 совпадают по фазе с вектором \underline{U}_{Λ} , независимо от величины R_{Λ} :
- вектор напряжения нулевой последовательности равен по модулю вектору U_S и противоположен ему по фазе;
- при $R_A=0$ фазные токи представляют собой систему обратной последовательности ($L=0,\ L_1=\sqrt{3}\,\underline{U}_A/x$); при этом фазные напряжения нагрузки равны $\underline{U}_A=0,\ \underline{U}_B=\sqrt{3}\,\underline{U}_A\exp(-j150),\ U_1=\sqrt{3}\,\underline{U}_A\exp(j150);$
- при $R_A = \sqrt{3}X$ система фазных токов симметричная ($\underline{I}_A = I_1$, $\underline{I}_1 = 0$); при этом фазные напряжения нагрузки несимметричны.
- вектор тока 1, при $0 \le R_A < \sqrt{3}X$ совпадает по фазе с вектором 1 , а при $R_A > \sqrt{3}X$ находится в противофазе с ним;
 - зависимости $I_1(R_{\Lambda})$ и $I_2(R_{\Lambda})$ линейные;
 - при разрыве цепи R_{\perp} ($R_{\Lambda} = \infty$) условие постоянства тока 1_{Λ}

нарушается, наступает резонанс напряжений в цепи 1.-С.

Зависимости симметричных составляющих и полных значении напряжения и тока для фазы A от относительного сопротивления $R_A = R_A / X$ (при постоянных значениях U_A и X) приведены на рис.2 и 3. В табл. приведены результаты расчета примера при

значениях $U_{\chi} = 220$ В. X = 50 Ом и дискретном изменении R_{χ} от 0 до $R_{\chi} = \sqrt{3}X = 86.6$ Ом.



Приведенные выражения и зависимости показывают возможность изменения в широком дианазоне режимных параметров рассмотренной схемы. Схема может быть использовани в системах автоматики, регулирования и в сварочном производстве при соответствующих блокировках, исключающих чрезмерные перенапряжения.

						Tabave				
\mathbb{R}_{λ}	1	Γ_{A}^{\prime}	O'n	Link	-1_{Λ}	1,0	L ₁	t Tu	i *	U_{2n}^+
OM	B	В	8	В	Α	A	A	B-	В	В
0	220	0	380×	380×	7.62	7.62 <	7.62-	220	0	-220
			exp{-j150 }	ехр((150-)		exp(- ₁ 240]	exp()240 +			
10	144	76	317×	317×	7,62	6,34×	6,34x	220	0	- 144
			exp{-j143')	ехр(ј1431)		ехр(-ј233	ехр([233]]			
29	0	220	220×	220>	7,62	4,4+	4.4-	220	0	0
			exp(-j120 ⁻)	ехр(ј120)		exp(-j210 :	exp(j2:0)			
43,3	- 1 10	330	190.5×	190.5×	7.62	3.8>	3.8-	220	0	110
			exp(- 90)	exp(;90")		exp(-j180)	ехр(ј 180 ј			
50	160	380	197x	197×	7.62	3.94×	3.94	220	0	160
			ёхр(-j75_)	exp(775_)		exp/= 165	exp() 165			
57.9	-220	440	220×	220×	7.62	4.4	4.4-	220	a	220
			exp(- 60)	ехр(ј60)		exp(-j150	exp(j.150.)			
86 წ	440	660	380×	380>	7.62	7.62	7.62×	220	0	440
			ехр(-ј30)	exp(30)		exp(-j120 }	exp([120])			

ЛИТЕРАТУРА

- 1. Касаткин А.С., Немцов М.В. Электротехника. М.: Энергоатомиздат, 1983. 440 с.
- 2. Зевеке Г.В., Ионкин П.А., Нетушил А.В., Страхов С.В. Основы теории цепей. М.: Энергоатомиздат, 1989. 528 с.

ГИУА

20,10,1996

Изв. НАП и ГИУ Армении (сср. ТН), т. LII, № 1, 1999, с. 131-133

УДК 389:658.56

КРАТКИЕ СООБЩЕНИЯ

З.А. БАБАЯН

АВТОМАТИЗИРОВАННЫЙ КОНВЕЙЕР ДЛЯ ПОЛИРОВКИ ОБЛИЦОВОЧНЫХ ПЛИТ С ПРИМЕНЕНИЕМ БЛЕСКОМЕРА НИИКС БМ-3

Փայլաչափի սանվծումը ննարավոր դարձրեց ողորկող-իղկող հաստոցի հիմքի վրա սալիկների ողորկման ավտոմատացված հուսչային գծի նախազծումը, որը թույլ է տալիս սալիկների ողորկման-հղկման գործընթացը և նրանց մակերևույթի որակի վերիսկումն իրագործել ավտոմատացված ձևով Բերված է ավտոմատացված հուսջային գծի (եկ) կառուցվածքի և գործողության սկզբունքի նկարագրությունը։

Разработан автоматизированный конвейер для полировки плит на базе шлифовально-полировального станка, позволяющего выполнять процесс шлифовки - полировки плит и обеспечить контроль качества их поверхности в автоматизированном режиме. Дано описание конструкции и предложен принцип действия автоматизированного конвейера (рис.) [1]

Ил. 1. Библиогр.: 1 назв.

With the advent of the fustremeter the development of an automated conveyor made it possible to polish slabs on the grinding-polishing machine permitting to conduct the grinding-polishing process for the slabs and control of their surface quality in automated conditions. The description of the construction is given and the automated conveyor principle is proposed.

177. 1, Ref 1.

С созданием блескомера стала возможной разработка автоматизированного конвейера для полировки плит на базе шлифовально-полировального станка, позволяющего выполнять процесс шлифовки-полировки плит в автоматизированном режиме и контролировать степень полированности с помощью блескомера НИИКС БМ-3 [1].

В комплект оборудования шлифовально-полировального конвейера в условиях непрерывно-конвейерной обработки входят: транспортер с приводом, шлифовальные и полировальные рабочие головки с линией сжатого воздуха и системой для очистки поверхности плит, а также приёмник- накопитель готовой продукции. Автоматизированный контроль качества полированности